

## Snurpf et plan complexe (Denise Vella-Chemla, janvier 2024)

On poursuit l'étude d'un système de représentation par les restes (modulaires) pour les parties finies de  $\mathbb{N}$  (ou *Snurpf*) associé à un positionnement des nombres dans le plan complexe.

### 1. Introduction : présentation de la représentation du *Snurpf* dans le plan complexe

Pour illustrer le *Snurpf complexe*, voyons comment il positionne les entiers de 1 à  $210 = 2 \times 3 \times 5 \times 7$  dans le plan complexe.

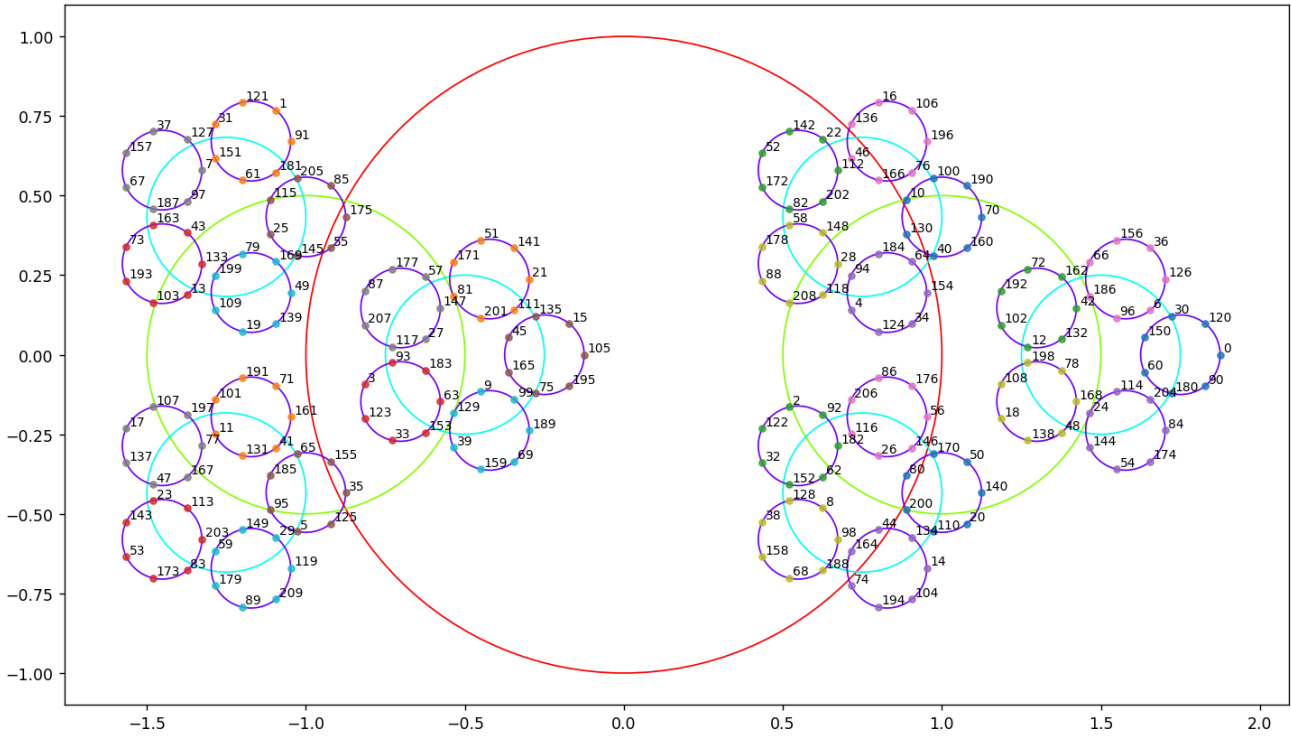


FIGURE 1 : Placement des 210 premiers nombres dans le plan complexe par le *Snurpf*

Chaque nombre est positionné dans le plan complexe suivant ses restes de division euclidienne par les nombres premiers d'une base, ici  $\mathcal{B} = \{2, 3, 5, 7\}$ .

Les nombres pairs sont positionnés dans le demi-plan réel supérieur (droit), les nombres impairs sont positionnés dans le demi-plan réel inférieur (gauche).

L'affixe d'un nombre  $n$  est 
$$\sum_{k=1}^{|\mathcal{B}|-1} \frac{1}{2^k} e^{\frac{2i\pi(n \bmod p_k)}{p_k}}.$$

On a fait ce choix des multiplications par les inverses des puissances successives de 2 pour que les positions des différents nombres ne risquent pas d'interférer les unes avec les autres dans la mesure où  $\sum \frac{1}{2^k} < 1$ .

Du fait du partage des restes modulo 2, 3 et 5 de tous les nombres positionnés sur un même cercle, les cercles contiennent les nombres de suites de raison 30 (de la forme  $30x + a$ ), selon le graphique ci-dessous :

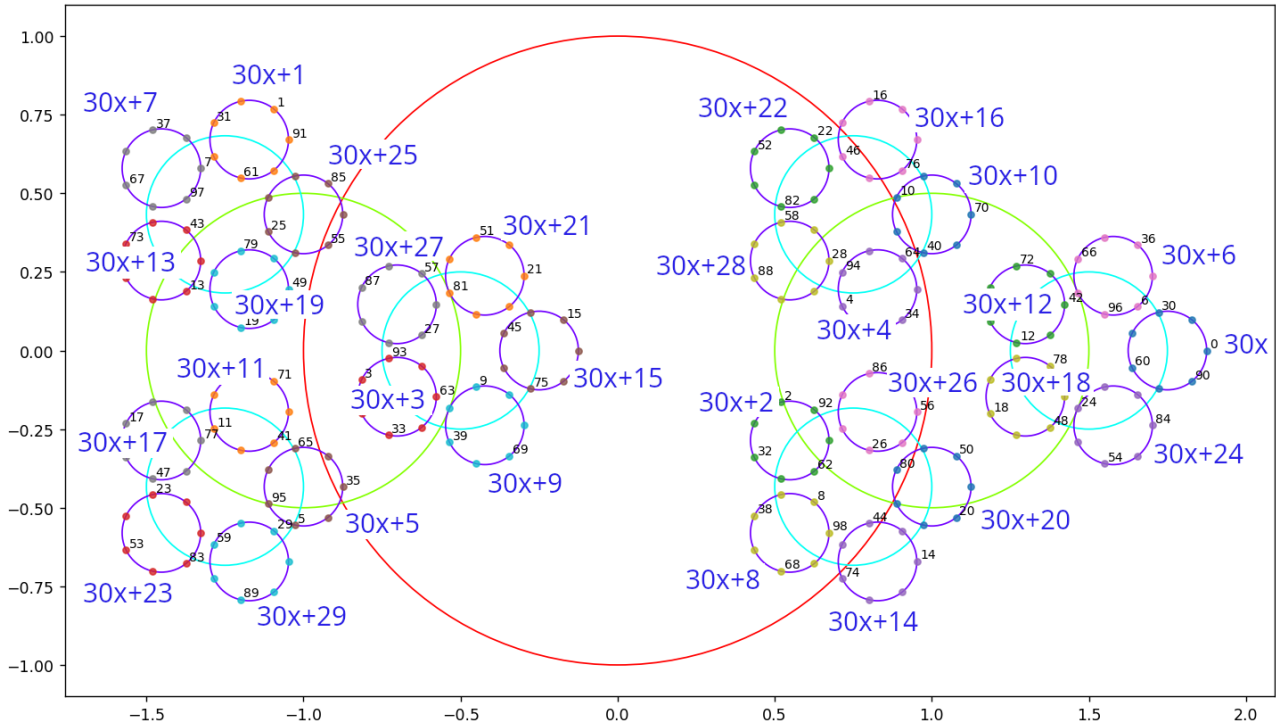


FIGURE 2 : Positionnement des suites  $30x + k$  sur les différents cercles complexes

## 2. Propriétés qui découlent de la représentation choisie

### 2.1. Cribler les nombres qui partagent un reste avec 0

On souhaite *cribler les divisibles par au moins un  $p_k$* , avec pour l'illustration considérée  $p_k \in \{2, 3, 5, 7\}$ .

Les *divisibles par au moins un  $p_k$*  ont leur affixe qui est dans une zone  $Z$  qu'on peut qualifier de fractale et qui a la forme présentée sur le graphique ci-dessous.

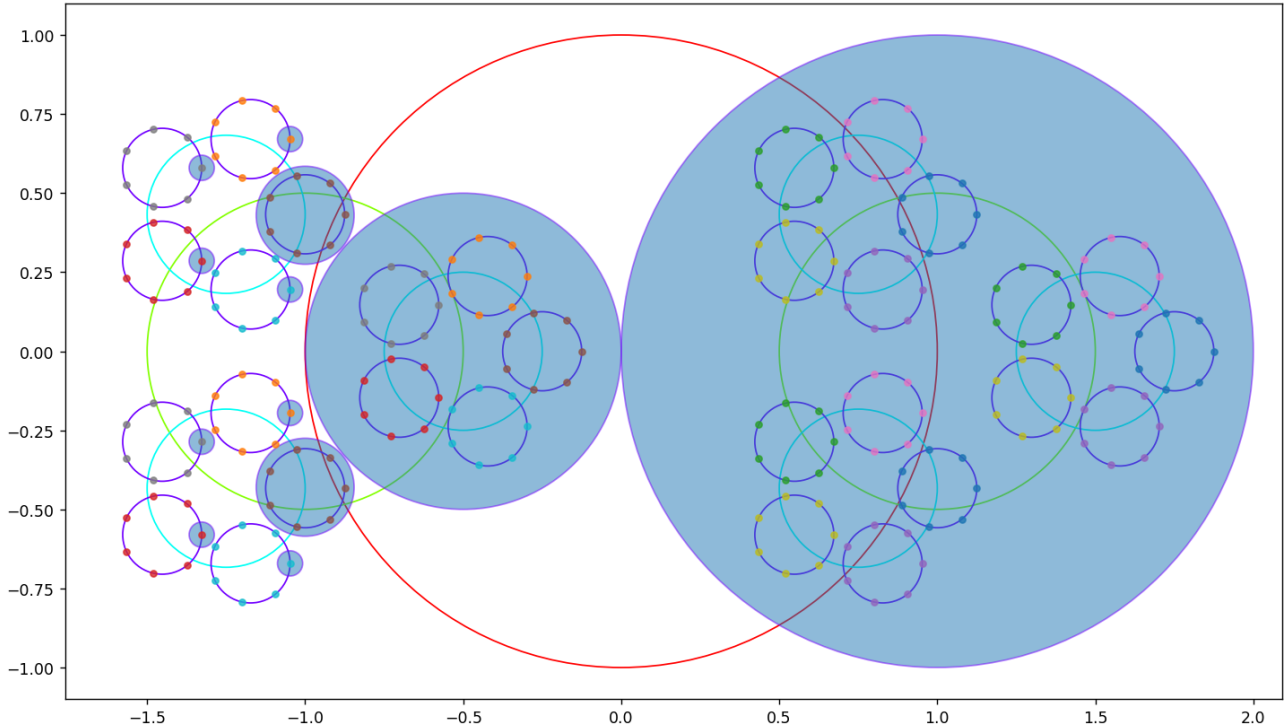


FIGURE 3 : Les *divisibles* (ou espace fractal contenant les nombres qui ont au moins un reste nul, i.e. un reste qu'ils partagent avec le nombre 0)

Le disque bleu le plus grand à droite contient tous les nombres pairs ( $\equiv 0 \pmod{2}$ ). Le disque de taille moyenne à gauche du disque le plus grand contient les nombres impairs divisibles par 3 ( $\equiv 0 \pmod{3}$ ). Les deux disques plus petits contiennent les nombres qui ne sont ni divisibles par 2 ni divisibles par 3 (qui étaient contenus par les 2 disques plus gros) mais qui sont divisibles par 5 ( $\equiv 0 \pmod{5}$ ). Enfin, les 8 disques contiennent des nombres divisibles par 7 (et non divisibles par 2, 3 ou 5).

La symétrie horizontale (par rapport à l'axe des abscisses), qui en l'occurrence envoie  $x$  sur  $210 - x$ , permet soit d'envoyer un nombre qui est dans la zone  $Z$  sur un nombre qui est dans la zone  $Z$  (on dira que cette opération fait rester dans la zone  $Z$ ), soit d'envoyer un nombre qui est à l'extérieur de la zone  $Z$  sur un nombre qui est également à l'extérieur de la zone  $Z$  (on dira que cette opération fait rester à l'extérieur de la zone  $Z$ ).

## 2.2. Cribler les nombres qui partagent un reste (au moins) avec $n$

On peut, similairement à la façon dont on a *criblé* 0 au paragraphe précédent, *cribler*  $n$ .

Reprenons notre exemple classique : *cribler* 98 consiste à enlever les nombres dans la zone  $Z'$  (rose) ci-dessous qui contient les nombres pairs (comme l'est 98), ainsi que (parmi les nombres restant) les nombres congrus à 2 (mod 3) (comme l'est 98), ainsi que (parmi les nombres restant) les nombres congrus à 3 (mod 5) (comme l'est 98), ainsi que (parmi les nombres restant) les nombres divisibles par 7 (congrus à 0 (mod 7), comme l'est 98).

Le fractal  $Z'$  est représenté sur le graphique ci-dessous.

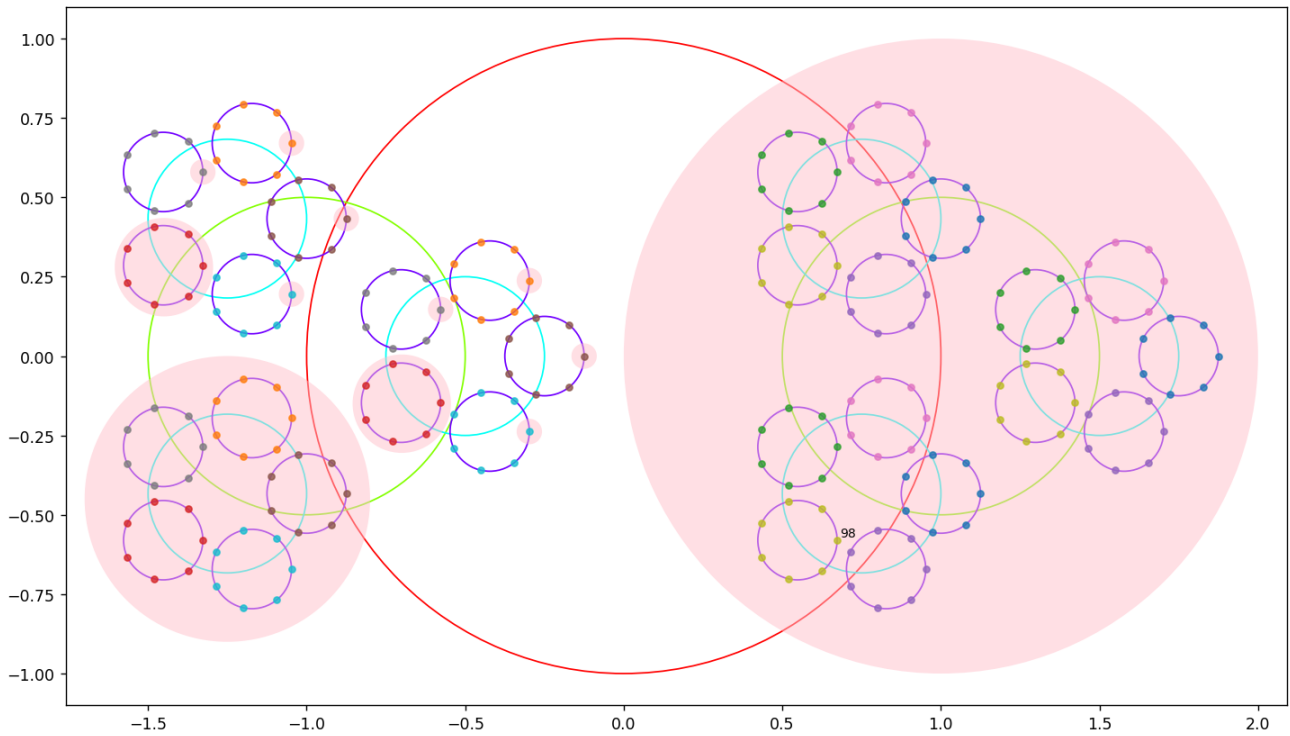


FIGURE 4 : les *congrus* à  $n = 98$  (ou espace fractal contenant les nombres qui partagent au moins un reste avec  $n$ )

L'opération qui permet soit de rester dans le fractal  $Z'$ , soit de rester à l'extérieur du fractal  $Z'$ , est l'opération qui à  $x$  associe  $2n - x$ . On montre simplement dans le graphique ci-dessous les appariements (121,75) et (107,89) pour  $n = 98$ ,  $2n = 196$ .

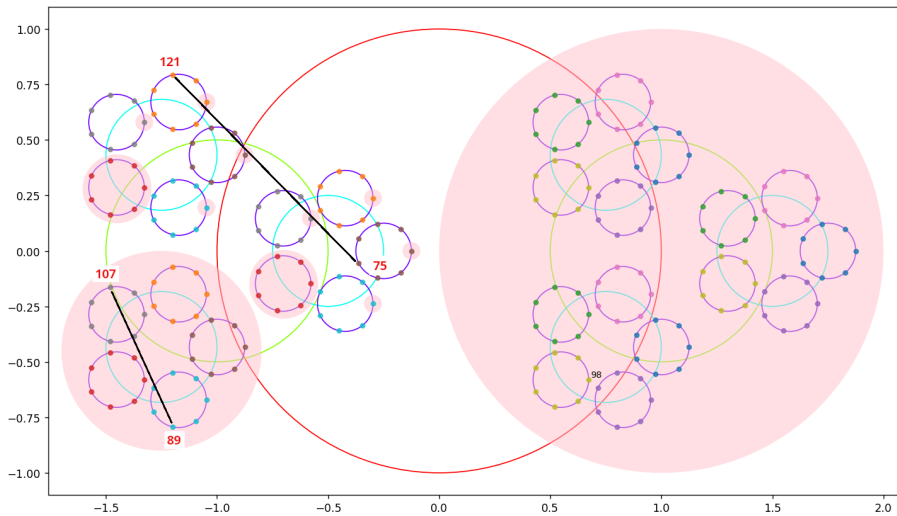


FIGURE 4 bis : opération qui fait rester dans (resp. à l'extérieur du) fractal  $Z'$

### 2.3. Double crible

A été démontré (voir <http://denise.vella.chemla.free.fr/jade1.pdf>) qu'un nombre compris entre 3 et  $n/2$  qui n'est jamais congru ni à 0 ni à  $n$  est un décomposant de Goldbach de  $n$  (compris entre  $\sqrt{n}$  et  $n/2$ ).

Appliquer ce double crible consiste à cribler les fractals  $Z$  et  $Z'$  vus aux deux paragraphes précédents, selon le graphique ci-dessous.

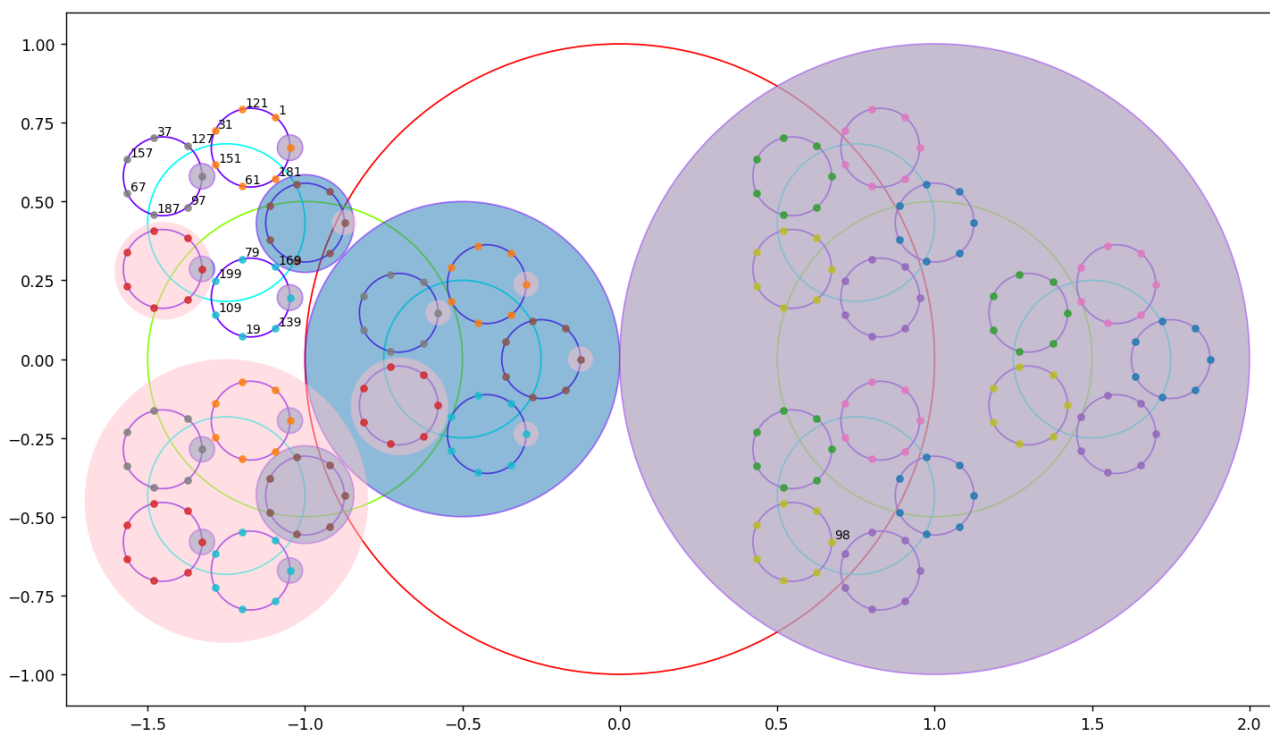


FIGURE 5 : double crible (des nombres qui partagent au moins un reste avec 0 ainsi que des nombres qui partagent au moins un reste avec  $n$ )

On comprend aisément que les diviseurs premiers  $p_{div}$  de  $n$  ne font éliminer qu'une seule classe de congruence au lieu de deux modulo  $p_{div}$  : ils font cribler la seule classe modulaire  $\equiv 0 \pmod{p_{div}}$ , alors que les nombres premiers  $p_{nondiv}$  qui ne divisent pas  $n$  font cribler deux disques de même taille correspondant aux classes de congruence modulaire  $\equiv 0 \pmod{p_{nondiv}}$  et  $\equiv n \pmod{p_{nondiv}}$ .

De ce fait, les nombres qui ont peu de diviseurs premiers (comme les nombres qui sont des puissances de 2 par exemple, ou bien les nombres qui ont peu de diviseurs premiers dans leur factorisation) auront, localement, bien moins de décomposants de Goldbach que les entiers qui sont proches d'eux.

### 2.4. Brisure de symétrie de la représentation par $n$

On rappelle l'anecdote du clavier de piano, et de ses touches noires et blanches : c'est le fait qu'il y ait des paquets de 3 touches noires d'une part, et des paquets de 2 touches noires d'autre part (la brisure de symétrie), qui permet de trouver la position de la note *do* sur un clavier (touche blanche

immédiatement contigue (à gauche) à un paquet de deux touches noires).

On a vu ci-dessus qu'on pouvait *cribler l'espace par un nombre*. On va maintenant *symétriser l'espace par un nombre  $n$* , i.e. appairer les nombres  $x$  et  $y$  dont la somme  $\sigma_n = x + y$  est congrue à  $n$  modulo le produit des éléments de la base  $\mathcal{B}$  (i.e.  $\sigma_n = x + y \equiv n \pmod{\prod_{b_k \in \mathcal{B}} b_k}$ ),.

Pour poursuivre avec l'exemple du nombre 98, qui se trouve être égal à 308 modulo 210, 98 permet d'associer les différents cercles de la représentation de la façon suivante.

À la manière dont Gauss enfant associait les nombres 2 à 2 pour calculer la somme des 100 premiers nombres entiers, on peut voir le nombre 98 comme procédant à l'association suivante entre les nombres compris entre 1 et 210.

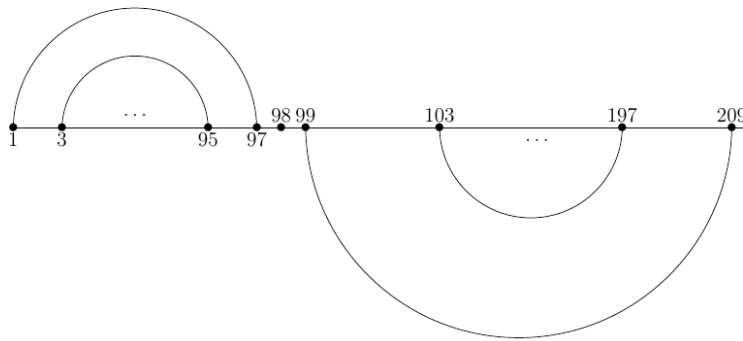


FIGURE 6 : positionnement des sommes de deux termes  $\equiv 98 \pmod{210}$  sur l'intervalle  $[1, 210]$

Présentons d'abord pour deux cercles l'appariement par somme pour  $n = 98$  (noter les sens de rotation inversés sur les deux cercles).

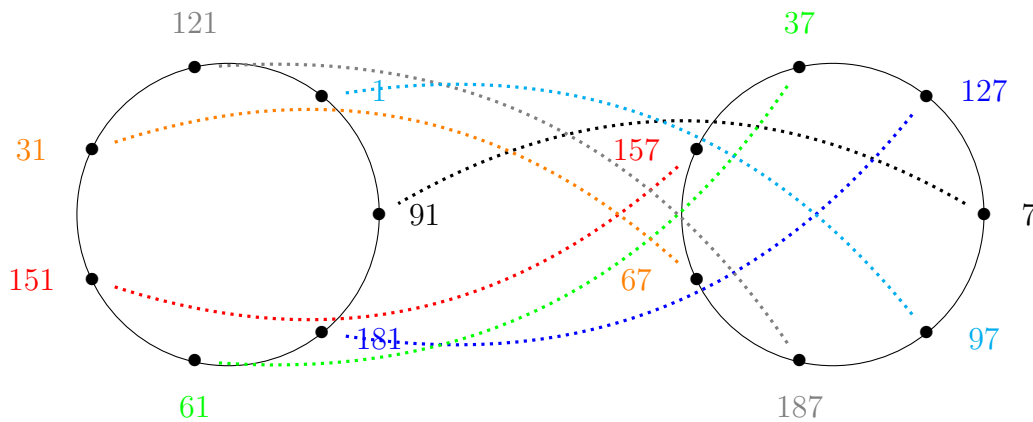


FIGURE 7 : appariement des cercles pour  $n = 98$

Voyons comment les cercles sont globalement appariés par somme pour  $n = 98$ .

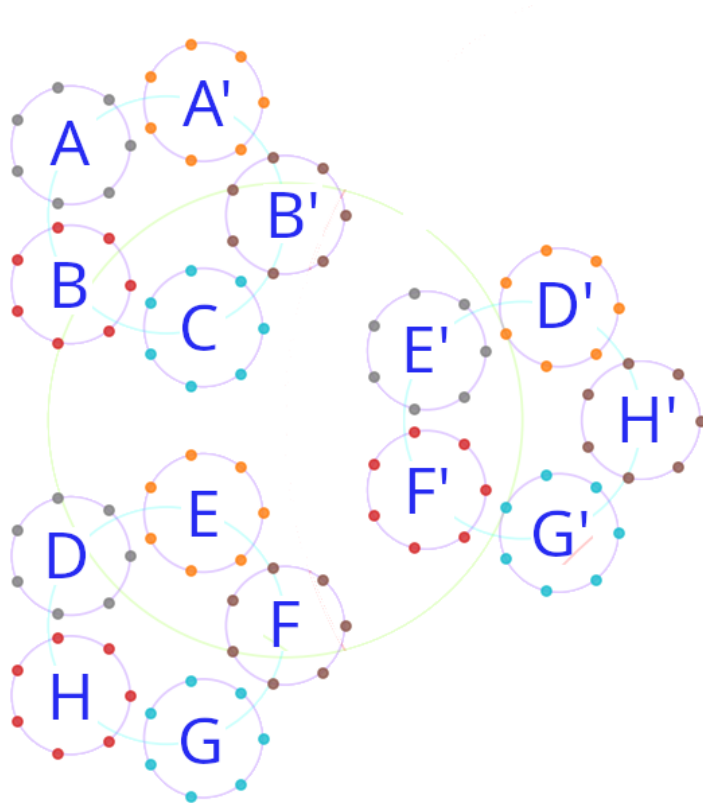


FIGURE 8 : appariement des cercles pour  $n = 98$

Les deux lettres  $A$  et  $A'$  représentent le fait que les  $30x + 7$  sont appariés ainsi aux  $30x + 1$  (pour que la somme 98 soit maintenue, 98 étant un  $30x + 8$ , on tourne dans le sens horaire sur un cercle et dans le sens anti-horaire sur l'autre cercle) :

7	127	37	157	67	187	97
91	181	61	151	31	121	1

Certains cercles sont appariés avec eux-mêmes (par exemple le cercle des  $30x + 19$  pour  $n = 98$  selon le graphique ci-dessous, la somme de deux  $30x + 19$  donnant un  $30x + 8$ ).

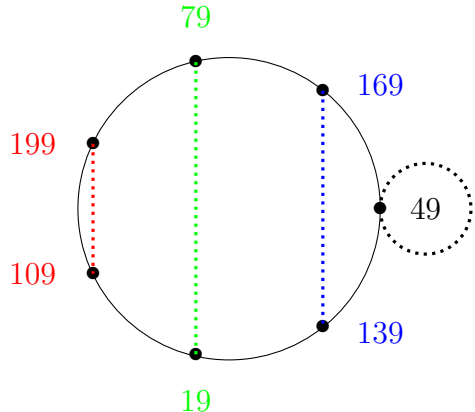


FIGURE 9 : exemple d'appariement d'un cercle avec lui-même ; les sommes de sommets appariés sont toutes congrues à 98 (mod 210).

Lorsqu'on crible deux classes de congruences au maximum selon chaque nombre premier, restent forcément au moins  $\prod_{k=1}^4 (p_k - 2)$  nombres appariés. Ces nombres qui, dans une certaine proportion, sont inférieurs à  $n$ , fournissent les décompositions de Goldbach cherchées.

Exemple pour  $n = 128 = 19+109 = 31+97 = 61+67$  (il y a un schisme, les positions se chevauchent, voir en annexe une autre représentation par cercles tangents internes pour éviter le chevauchement).

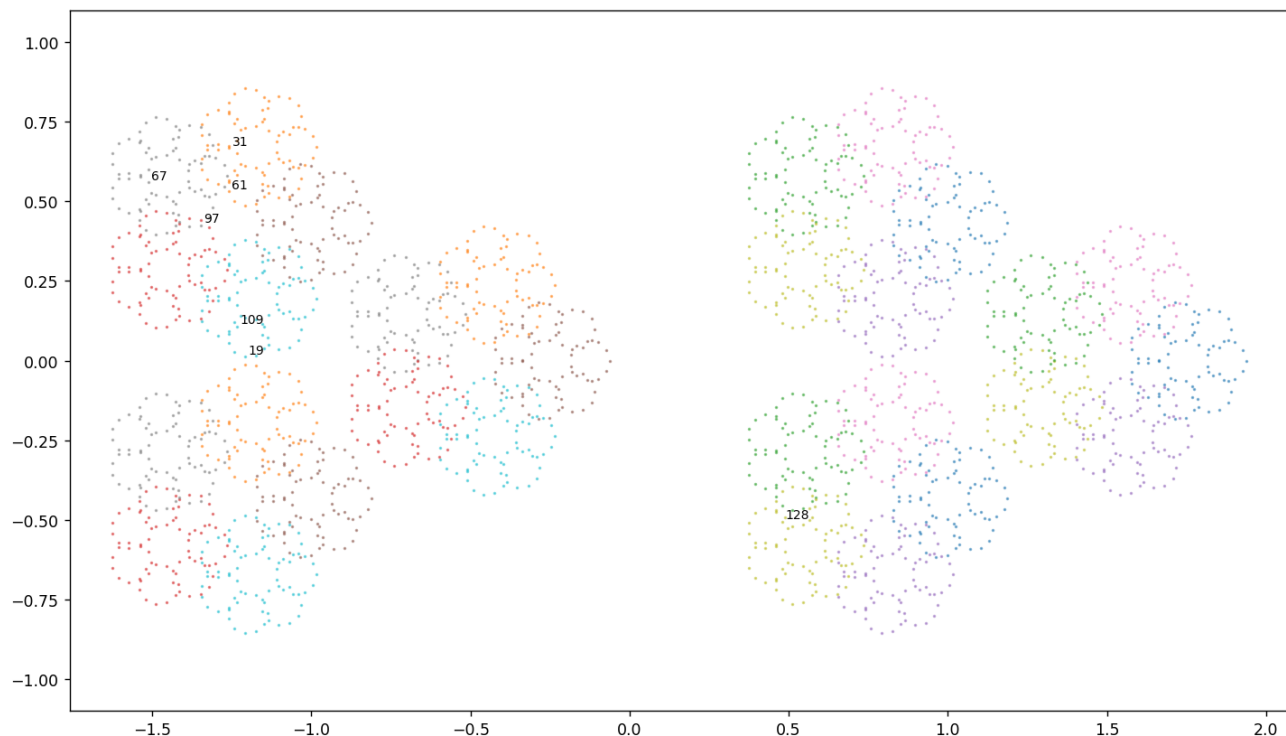


FIGURE 10 : décomposants de Goldbach de  $n = 128$



Exemple pour  $n = 256 = 5 + 251 = 17 + 239 = 23 + 233 = 29 + 227 = 59 + 197 = 83 + 173 = 89 + 167 = 107 + 149$  :

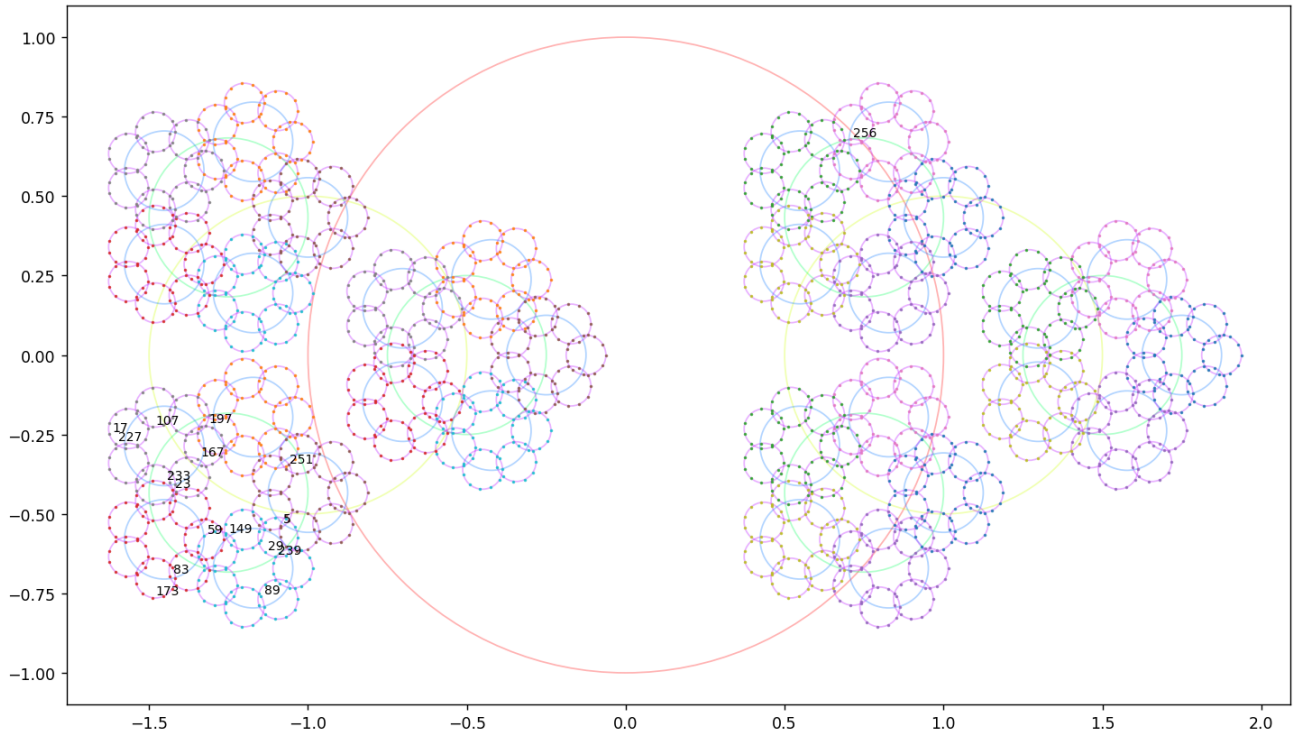


FIGURE 11 : décomposants de Goldbach de  $n = 256$  avec  $\mathcal{B} = \{2, 3, 5, 7, 11\}$

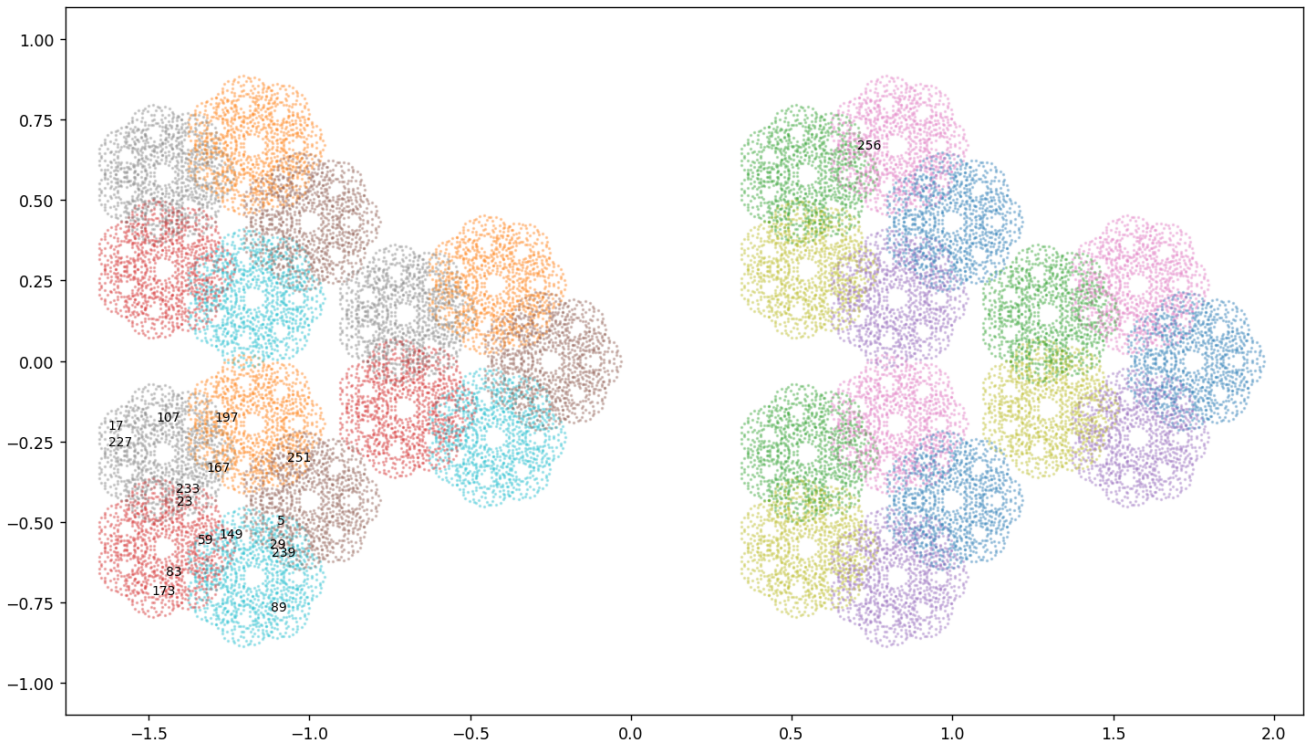


FIGURE 12 : décomposants de Goldbach de  $n = 256$  avec  $\mathcal{B} = \{2, 3, 5, 7, 11, 13\}$

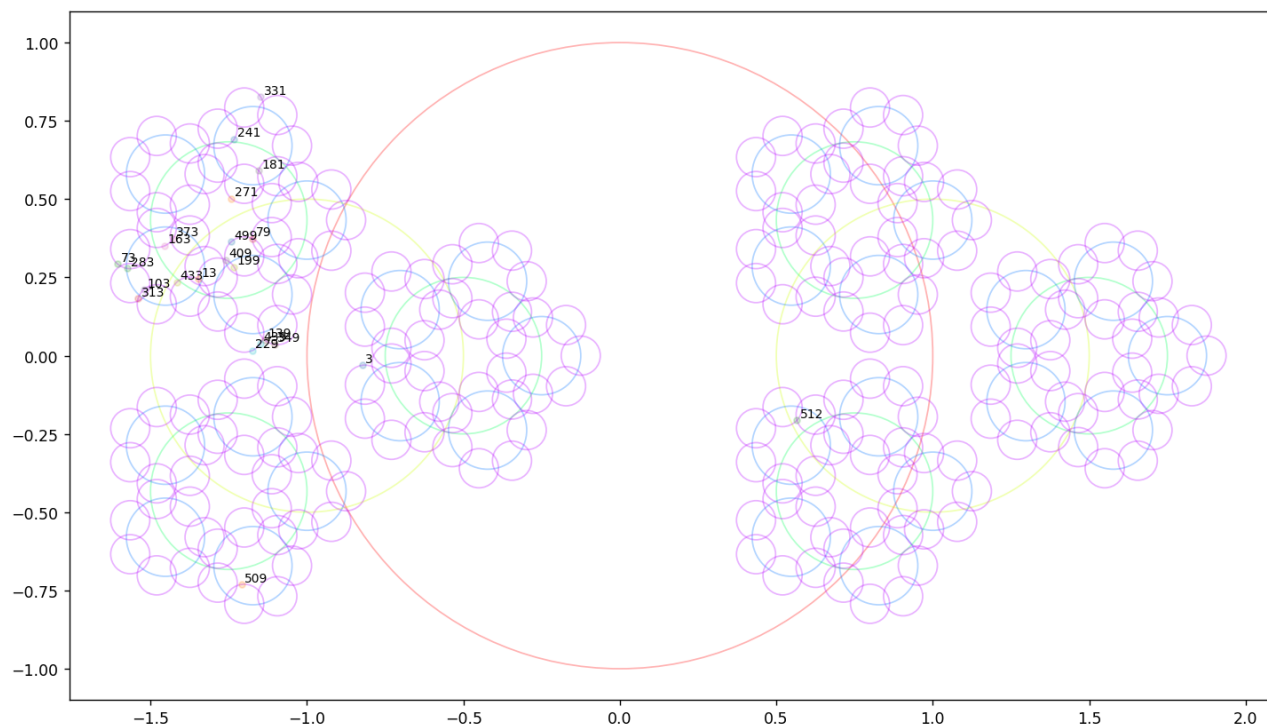


FIGURE 13 : décomposants de Goldbach de  $n = 512$  avec  $\mathcal{B} = \{2, 3, 5, 7, 11\}$

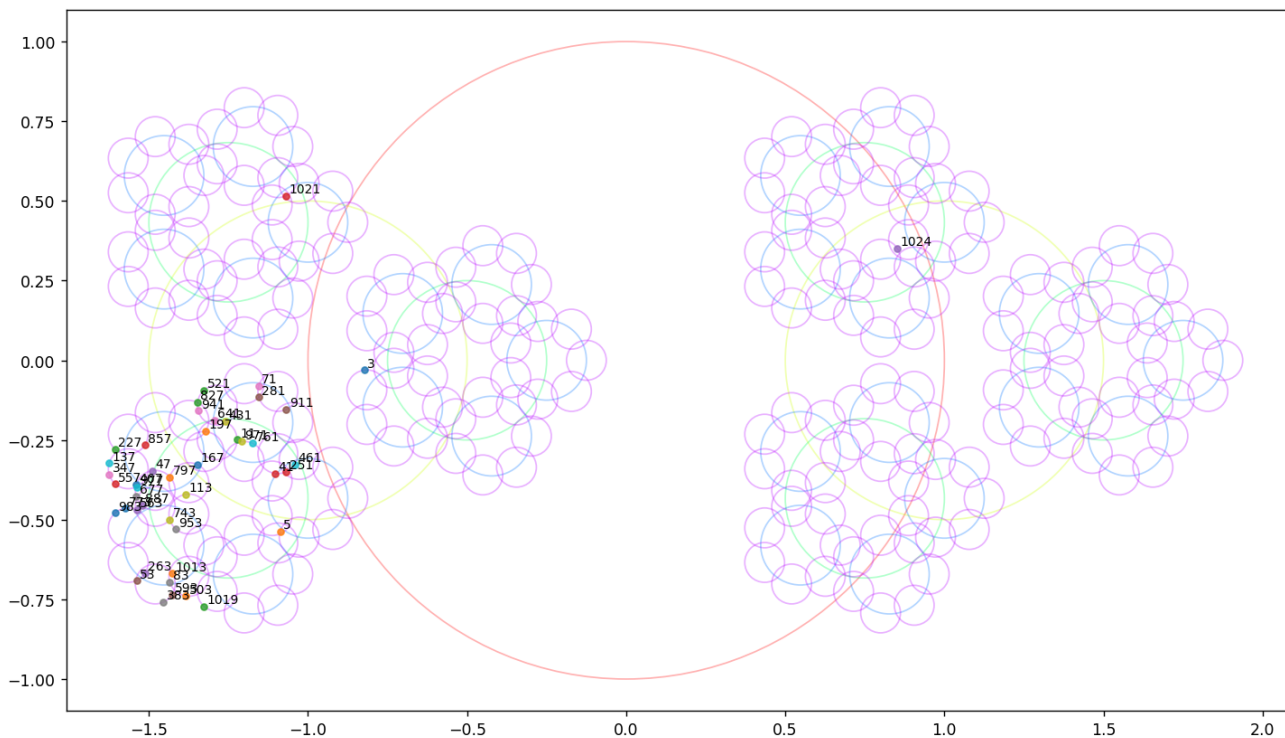


FIGURE 14 : décomposants de Goldbach de  $n = 1024$  avec  $\mathcal{B} = \{2, 3, 5, 7, 11\}$

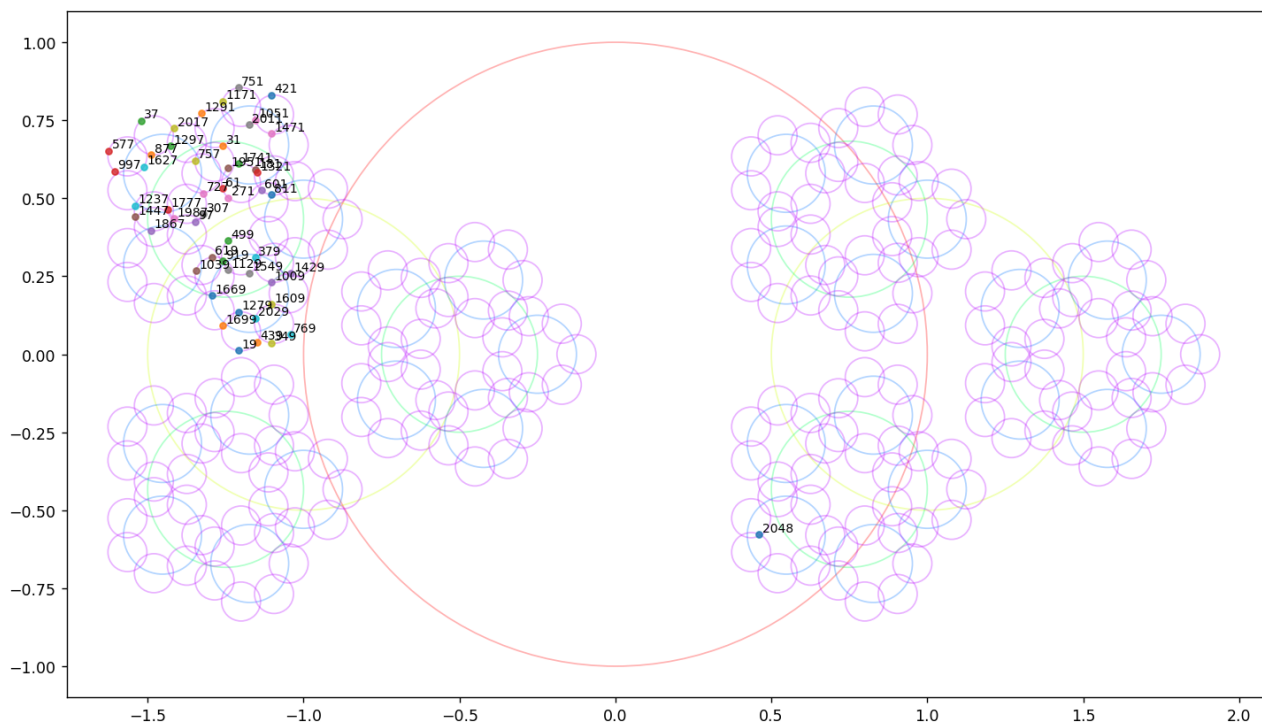


FIGURE 15 : décomposants de Goldbach de  $n = 2048$  avec  $\mathcal{B} = \{2, 3, 5, 7, 11\}$

**Annexe 1** : La représentation choisie initialement occasionnant des chevauchements de nombres, on lui préférera la représentation ci-dessous par des cercles internes tangents au cercle correspondant au nombre premier précédent<sup>1</sup>.

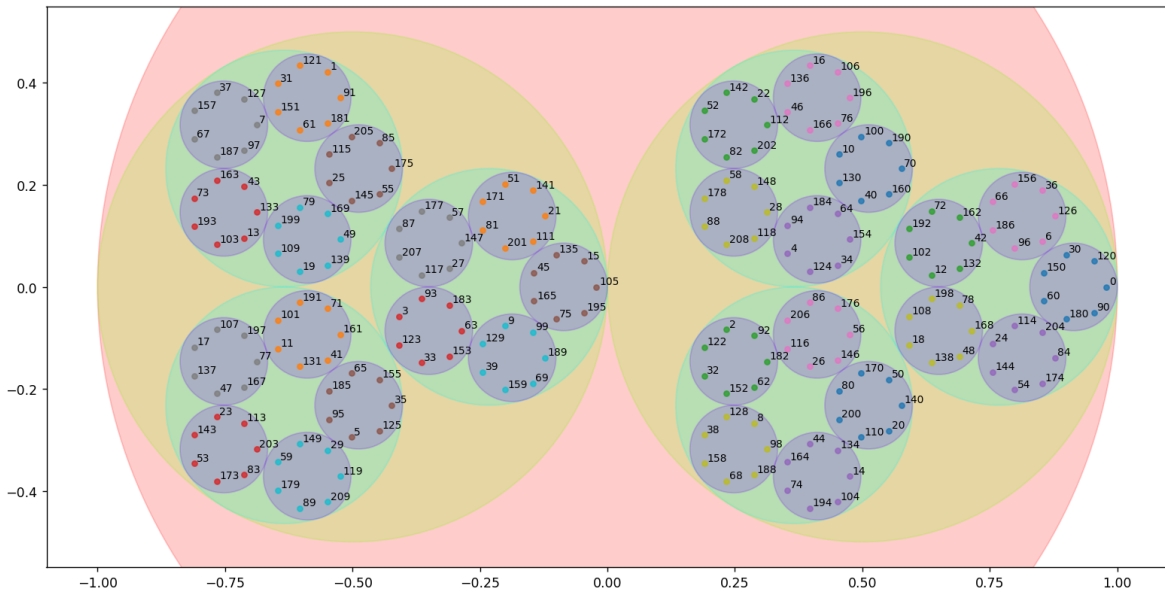
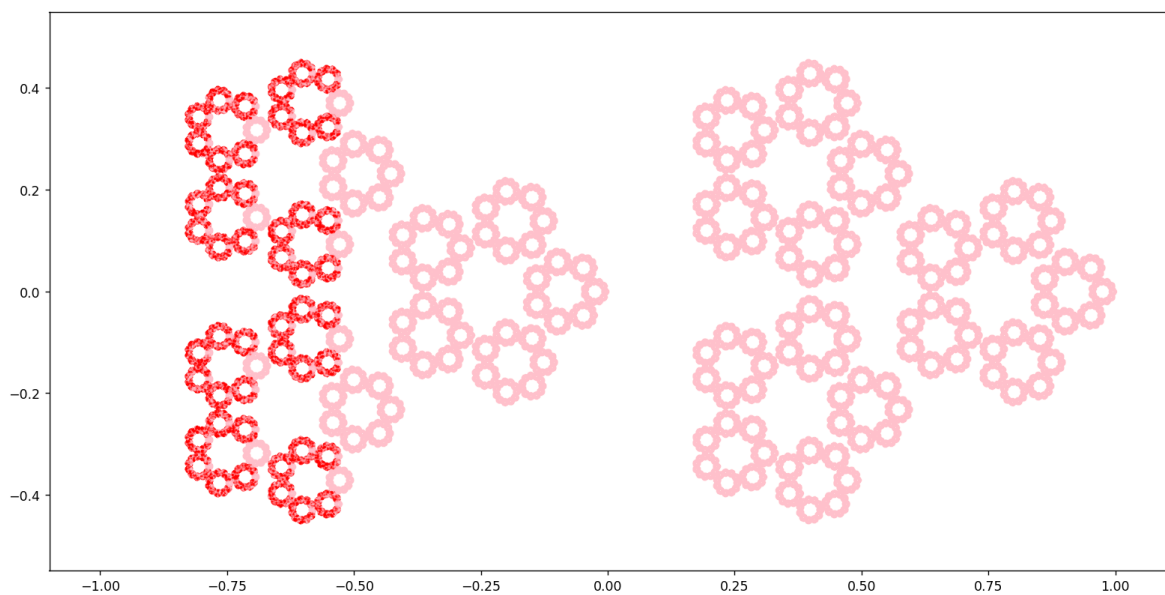


FIGURE 16 : représentation par cercles tangents internes au cercle correspondant au nombre premier précédent avec  $\mathcal{B} = \{2, 3, 5, 7\}$

**Annexe 2** : En se focalisant sur les nombres inférieurs à  $510510 = 17\#$ , (le symbole  $\#$  dénote la primorielle, i.e. produit des nombres premiers successifs de 2 à 17), si l'on colorie en rouge les points correspondant aux nombres premiers et en rose ceux correspondant aux nombres composés, on voit les nombres premiers se concentrer sur les cercles à l'extrême gauche du graphique.



<sup>1</sup>Merci Jacques.

FIGURE 17 : positionnement des nombres premiers (en rouge) et des nombres composés (en rose) sur la représentation du *Snurpf* dans le plan complexe.

On voit clairement la symétrie des positionnement des nombres premiers de la forme  $6x + 1$  et  $6x + 5$ . Additivement, les nombres pairs de la forme  $6x + 2$  se décomposent en sommes de deux nombres premiers de la forme  $6x + 1$ , les nombres pairs de la forme  $6x + 4$  se décomposent en sommes de deux nombres premiers de la forme  $6x + 5$  tandis que les nombres pairs de la forme  $6x$  se décomposent en sommes d'un nombre premier de la forme  $6x + 1$  et d'un nombre premier de la forme  $6x + 5$  (en deux fois plus de sommes donc).

Reste à démontrer pourquoi l'opérateur  $x \mapsto n - x$  pour  $n$  un nombre pair supérieur à 4 ne peut pas envoyer tous les nombres premiers inférieurs à  $n/2$  dans la zone  $Z'$  définie par le double criblage du paragraphe 2.3.